

# Starkniederschlagshöhen und -spenden gemäß KOSTRA-DWD-2020

## Rasterfeld 143197

(Zeile 143, Spalte 197)

### Regenspende und Bemessungsniederschlagswerte in Abhängigkeit von Wiederkehrzeit T und Dauerstufe D

| Dauerstufe D |     | Wiederkehrzeit T |            |      |            |       |            |       |            |       |            |       |            |       |            |       |            |       |            |
|--------------|-----|------------------|------------|------|------------|-------|------------|-------|------------|-------|------------|-------|------------|-------|------------|-------|------------|-------|------------|
|              |     | 1 a              |            | 2 a  |            | 3 a   |            | 5 a   |            | 10 a  |            | 20 a  |            | 30 a  |            | 50 a  |            | 100 a |            |
| min          | Std | mm               | l / (s ha) | mm   | l / (s ha) | mm    | l / (s ha) | mm    | l / (s ha) | mm    | l / (s ha) | mm    | l / (s ha) | mm    | l / (s ha) | mm    | l / (s ha) | mm    | l / (s ha) |
| 5            |     | 6,6              | 220,0      | 8,6  | 286,7      | 9,8   | 326,7      | 11,4  | 380,0      | 13,7  | 456,7      | 16,1  | 536,7      | 17,6  | 586,7      | 19,6  | 653,3      | 22,5  | 750,0      |
| 10           |     | 8,9              | 148,3      | 11,6 | 193,3      | 13,2  | 220,0      | 15,4  | 256,7      | 18,4  | 306,7      | 21,6  | 360,0      | 23,7  | 395,0      | 26,5  | 441,7      | 30,4  | 506,7      |
| 15           |     | 10,4             | 115,6      | 13,5 | 150,0      | 15,4  | 171,1      | 17,9  | 198,9      | 21,5  | 238,9      | 25,2  | 280,0      | 27,6  | 306,7      | 30,8  | 342,2      | 35,4  | 393,3      |
| 20           |     | 11,5             | 95,8       | 14,9 | 124,2      | 17,0  | 141,7      | 19,7  | 164,2      | 23,7  | 197,5      | 27,8  | 231,7      | 30,5  | 254,2      | 34,0  | 283,3      | 39,1  | 325,8      |
| 30           |     | 13,1             | 72,8       | 17,0 | 94,4       | 19,4  | 107,8      | 22,5  | 125,0      | 27,1  | 150,6      | 31,8  | 176,7      | 34,8  | 193,3      | 38,9  | 216,1      | 44,6  | 247,8      |
| 45           |     | 14,9             | 55,2       | 19,3 | 71,5       | 22,0  | 81,5       | 25,6  | 94,8       | 30,7  | 113,7      | 36,1  | 133,7      | 39,5  | 146,3      | 44,1  | 163,3      | 50,6  | 187,4      |
| 60           | 1   | 16,2             | 45,0       | 21,0 | 58,3       | 24,0  | 66,7       | 27,9  | 77,5       | 33,5  | 93,1       | 39,3  | 109,2      | 43,1  | 119,7      | 48,1  | 133,6      | 55,2  | 153,3      |
| 90           | 1,5 | 18,3             | 33,9       | 23,7 | 43,9       | 27,0  | 50,0       | 31,4  | 58,1       | 37,7  | 69,8       | 44,3  | 82,0       | 48,6  | 90,0       | 54,2  | 100,4      | 62,2  | 115,2      |
| 120          | 2   | 19,8             | 27,5       | 25,7 | 35,7       | 29,3  | 40,7       | 34,1  | 47,4       | 41,0  | 56,9       | 48,1  | 66,8       | 52,8  | 73,3       | 58,8  | 81,7       | 67,6  | 93,9       |
| 180          | 3   | 22,3             | 20,6       | 28,8 | 26,7       | 32,9  | 30,5       | 38,3  | 35,5       | 46,0  | 42,6       | 54,0  | 50,0       | 59,2  | 54,8       | 66,0  | 61,1       | 75,8  | 70,2       |
| 240          | 4   | 24,1             | 16,7       | 31,3 | 21,7       | 35,7  | 24,8       | 41,5  | 28,8       | 49,9  | 34,7       | 58,5  | 40,6       | 64,2  | 44,6       | 71,6  | 49,7       | 82,2  | 57,1       |
| 360          | 6   | 27,0             | 12,5       | 35,0 | 16,2       | 40,0  | 18,5       | 46,5  | 21,5       | 55,9  | 25,9       | 65,6  | 30,4       | 71,9  | 33,3       | 80,2  | 37,1       | 92,1  | 42,6       |
| 540          | 9   | 30,3             | 9,4        | 39,2 | 12,1       | 44,8  | 13,8       | 52,1  | 16,1       | 62,6  | 19,3       | 73,4  | 22,7       | 80,5  | 24,8       | 89,8  | 27,7       | 103,1 | 31,8       |
| 720          | 12  | 32,8             | 7,6        | 42,5 | 9,8        | 48,5  | 11,2       | 56,4  | 13,1       | 67,8  | 15,7       | 79,5  | 18,4       | 87,2  | 20,2       | 97,2  | 22,5       | 111,6 | 25,8       |
| 1080         | 18  | 36,7             | 5,7        | 47,5 | 7,3        | 54,2  | 8,4        | 63,1  | 9,7        | 75,8  | 11,7       | 88,9  | 13,7       | 97,5  | 15,0       | 108,8 | 16,8       | 124,9 | 19,3       |
| 1440         | 24  | 39,7             | 4,6        | 51,4 | 5,9        | 58,7  | 6,8        | 68,3  | 7,9        | 82,1  | 9,5        | 96,3  | 11,1       | 105,6 | 12,2       | 117,7 | 13,6       | 135,2 | 15,6       |
| 2880         | 48  | 48,0             | 2,8        | 62,3 | 3,6        | 71,1  | 4,1        | 82,7  | 4,8        | 99,3  | 5,7        | 116,5 | 6,7        | 127,8 | 7,4        | 142,5 | 8,2        | 163,7 | 9,5        |
| 4320         | 72  | 53,7             | 2,1        | 69,6 | 2,7        | 79,5  | 3,1        | 92,4  | 3,6        | 111,1 | 4,3        | 130,3 | 5,0        | 142,9 | 5,5        | 159,4 | 6,1        | 183,0 | 7,1        |
| 5760         | 96  | 58,1             | 1,7        | 75,4 | 2,2        | 86,0  | 2,5        | 100,0 | 2,9        | 120,2 | 3,5        | 141,0 | 4,1        | 154,6 | 4,5        | 172,5 | 5,0        | 198,1 | 5,7        |
| 7200         | 120 | 61,8             | 1,4        | 80,1 | 1,9        | 91,5  | 2,1        | 106,4 | 2,5        | 127,8 | 3,0        | 150,0 | 3,5        | 164,4 | 3,8        | 183,4 | 4,2        | 210,6 | 4,9        |
| 8640         | 144 | 65,0             | 1,3        | 84,3 | 1,6        | 96,2  | 1,9        | 111,8 | 2,2        | 134,4 | 2,6        | 157,7 | 3,0        | 172,9 | 3,3        | 192,9 | 3,7        | 221,5 | 4,3        |
| 10080        | 168 | 67,8             | 1,1        | 87,9 | 1,5        | 100,3 | 1,7        | 116,7 | 1,9        | 140,2 | 2,3        | 164,5 | 2,7        | 180,4 | 3,0        | 201,2 | 3,3        | 231,0 | 3,8        |

# Starkniederschlagshöhen und -spenden gemäß KOSTRA-DWD-2020

## Rasterfeld 143197

(Zeile 143, Spalte 197)

### Örtliche Unsicherheiten in Abhängigkeit von Wiederkehrzeit T und Dauerstufe D

| Dauerstufe D |     | Wiederkehrzeit T |     |     |     |      |      |      |      |       |
|--------------|-----|------------------|-----|-----|-----|------|------|------|------|-------|
|              |     | 1 a              | 2 a | 3 a | 5 a | 10 a | 20 a | 30 a | 50 a | 100 a |
| min          | Std | ± %              | ± % | ± % | ± % | ± %  | ± %  | ± %  | ± %  | ± %   |
| 5            |     | 12               | 14  | 14  | 15  | 16   | 17   | 17   | 18   | 18    |
| 10           |     | 15               | 17  | 18  | 19  | 21   | 21   | 22   | 23   | 23    |
| 15           |     | 17               | 19  | 20  | 22  | 23   | 24   | 24   | 25   | 25    |
| 20           |     | 18               | 20  | 22  | 23  | 24   | 25   | 26   | 26   | 27    |
| 30           |     | 19               | 22  | 23  | 24  | 25   | 26   | 27   | 27   | 28    |
| 45           |     | 19               | 22  | 23  | 25  | 26   | 27   | 27   | 28   | 29    |
| 60           | 1   | 19               | 22  | 23  | 24  | 26   | 27   | 27   | 28   | 29    |
| 90           | 1,5 | 19               | 21  | 23  | 24  | 25   | 26   | 27   | 27   | 28    |
| 120          | 2   | 18               | 21  | 22  | 23  | 25   | 26   | 26   | 27   | 28    |
| 180          | 3   | 17               | 20  | 21  | 22  | 24   | 25   | 25   | 26   | 26    |
| 240          | 4   | 16               | 19  | 20  | 21  | 23   | 24   | 24   | 25   | 26    |
| 360          | 6   | 15               | 18  | 19  | 20  | 22   | 23   | 23   | 24   | 24    |
| 540          | 9   | 14               | 16  | 18  | 19  | 20   | 21   | 22   | 22   | 23    |
| 720          | 12  | 13               | 16  | 17  | 18  | 19   | 21   | 21   | 22   | 22    |
| 1080         | 18  | 13               | 15  | 16  | 17  | 18   | 19   | 20   | 20   | 21    |
| 1440         | 24  | 12               | 14  | 15  | 16  | 18   | 19   | 19   | 20   | 20    |
| 2880         | 48  | 12               | 14  | 14  | 15  | 17   | 17   | 18   | 18   | 19    |
| 4320         | 72  | 13               | 14  | 14  | 15  | 16   | 17   | 18   | 18   | 19    |
| 5760         | 96  | 13               | 14  | 15  | 15  | 16   | 17   | 17   | 18   | 18    |
| 7200         | 120 | 14               | 14  | 15  | 15  | 16   | 17   | 17   | 18   | 18    |
| 8640         | 144 | 14               | 15  | 15  | 16  | 16   | 17   | 17   | 18   | 18    |
| 10080        | 168 | 15               | 15  | 15  | 16  | 17   | 17   | 18   | 18   | 18    |

### Parameter für abweichende T und D

#### Lokationsparameter $\xi$ (Xi)

16,59642328

#### Skalenparameter $\alpha$ (Alpha)

6,82928233

#### Formparameter $\kappa$ (Kappa)

-0,1

#### 1. Koutsoyiannis-Parameter $\theta$ (Theta)

0,03192041

#### 2. Koutsoyiannis-Parameter $\eta$ (Eta)

0,72506106

Parameter für dauerstufenübergreifende Extremwertschätzung nach KOUTSOYIANNIS et al. 1998.

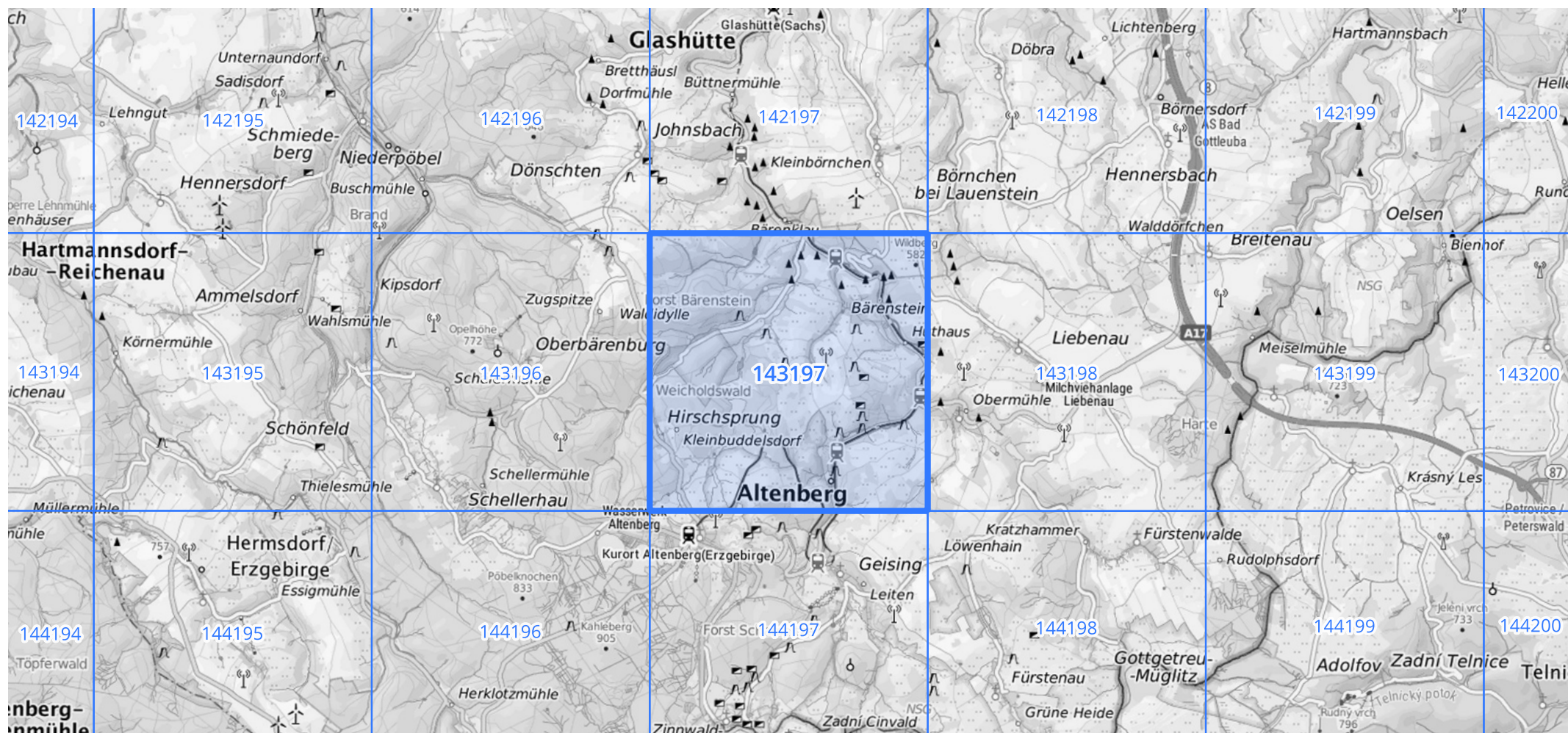
Siehe auch Anwendungshilfe zu KOSTRA-DWD-2020 des Deutschen Wetterdienstes.

# Starkniederschlagshöhen und -spenden gemäß KOSTRA-DWD-2020

## Rasterfeld 143197

(Zeile 143, Spalte 197)

Übersichtskarte des Rasterfeldes 143197, M 1 : 100 000



Quelle Rasterdaten: KOSTRA-DWD-2020 des Deutschen Wetterdienstes, Stand 12/2022.

Seite 3 von 3

Kartendarstellung: © Bundesamt für Kartographie und Geodäsie (2023), Datenquellen: [https://sgx.geodatenzentrum.de/web\\_public/gdz/datenquellen/Datenquellen\\_TopPlusOpen.html](https://sgx.geodatenzentrum.de/web_public/gdz/datenquellen/Datenquellen_TopPlusOpen.html)

Für die Richtigkeit und Aktualität der Angaben wird keine Gewähr übernommen. Erstellt 01/2023.